

1. まえがき

地中の耐震構造物を設計する場合、地震時における地中の応力、ひずみ、速度や間げき水圧等を推定しておくことは重要である。特に、間げき水圧の発生は飽和土の場合、有効応力を減少させる原因にもなる。また、地震記録のほとんどは地表でとれたものであり、地中での記録はまれである。本報告は、層状の粘性土地盤を対象とし、地表面での振動より地中での地盤の運動を推定したものである。

2. 地盤の構成関係と応力状態

地盤のモデルは図-1 のような場合を考える。さらに、地盤の初期応力状態として K_0 -不密状態を仮定する。

$$\sigma'_{11(0)}, \sigma'_{22(0)} = K_0 \sigma'_{33(0)}, \sigma'_{33(0)} = K_0 \sigma'_{11(0)} \quad (1)$$

σ'_j : 有効応力テンソル (0); 初期状態であることを示す。 $\angle K_0$ がて、

$$\sigma'_j = \sigma'_{j(j)} + \Delta\sigma'_{j(j)}, \Delta\sigma'_{j(j)} = \Delta\sigma'_{jj} - \Delta u \delta_j \quad (2)$$

運動方程式

左辯を正とすると、 x_2 方向の運動方程式ならばに、ひずみと変位の関係は、(4) と (5) であらわされる。

$$\rho \frac{\partial^2 u_2}{\partial t^2} = -\left(\frac{\partial \sigma_2}{\partial x_1} + \frac{\partial \sigma_2}{\partial x_2} + \frac{\partial \sigma_2}{\partial x_3}\right) \quad (4)$$

$$-\varepsilon_{12} = \frac{1}{2} \left(\frac{\partial u_1}{\partial x_1} + \frac{\partial u_2}{\partial x_2} \right) \quad (5) \quad (\text{左}; \text{速度ベクトル成分}, u_i; \text{変位ベクトル成分}, \sigma_j; \text{応力テンソル}$$

ϵ_{ij} ; 微少ひずみテンソル) (4) と (5) の近似として、右辺オーフルの項のみ残すと、 x_1 方向の一次元問題となる。

$$\rho \frac{\partial^2 u_2}{\partial t^2} = -\partial \sigma_{12} / \partial x_1, \quad (4)' \quad -\varepsilon_{12} = \frac{1}{2} \partial u_2 / \partial x_1, \quad (5)'$$

応力-ひずみ関係

弾性層(表層)は線形弾性体と仮定する。 $\sigma_{ij} = \lambda \epsilon_{kk} \delta_{ij} + 2M \epsilon_{ij}$, $\epsilon_{kk} = 0$ と仮定して、 $\sigma_{12} = 2M \epsilon_{12}$ (6)

弾-粘塑性層においては、

$$\dot{\epsilon}_{ij} = \dot{\epsilon}_{kk} \delta_{ij} + \frac{1}{3} \text{tr} \dot{\sigma} \delta_{ij} + \beta^{(1)} \frac{S_{12}}{\sqrt{2} J_2} + \beta^{(2)} \left\{ M \pm \frac{\sqrt{2} J_2}{\sigma_m^{(0)}} + M^* \ln \sigma_m^{(0)} \right\} \frac{1}{3} \delta_{ij} \quad (7)$$

(7) は、すでに報告している粘性土の応力-ひずみ関係を異方不密時に拡大適用して得たものである。 $\angle K_0$ がて、静的降伏曲面 $\dot{\epsilon}_s = 0$ は、 $\dot{\epsilon}_s = \pm \left(\frac{\sqrt{2} J_2}{\sigma_m^{(0)}} - \frac{\sqrt{2} J_2(0)}{\sigma_m^{(0)}} \right) + M^* \ln \sigma_m^{(0)} / \sigma_m^{(0)} = 0$ (8)

(7) における $(\sigma_m^{(0)}, \sqrt{2} J_2^{(0)})$ は動態時と等しい粘塑性体積ひずみを持つ静的経路上の点である。

$$\sigma_m^{(1)} = \sigma_m^{(0)} \exp \left\{ -\frac{(1+\rho_0)}{K} \epsilon_{KK}^{(0)} \right\}, \quad \sqrt{2} J_2^{(1)} = \left\{ \frac{\sqrt{2} J_2(0)}{\sigma_m^{(0)}} \pm \frac{(1+\rho_0)\lambda}{(1-K)K} \epsilon_{KK}^{(0)} \right\} \sigma_m^{(1)} \quad (9)$$

(8) に対して、粘塑性ボテンシャル $\dot{\epsilon}$ は $\dot{\epsilon} = \sqrt{2} J_2 - \dot{\epsilon}_s \left(\sigma_m^{(1)} + M^* \ln \sigma_m^{(1)} / \sigma_m^{(1)} - F \right)$ (9) となり (7) が導びかれる。

$$\beta^{(1)}, \beta^{(2)} \text{ の関数形は, } \beta^{(1)} = C_1 \exp \left\{ M \left(\sqrt{2} J_2 - \sqrt{2} J_2^{(0)} \right) / \sigma_m^{(0)} \right\} \quad (10)$$

$$\beta^{(2)} = C_2 \exp \left\{ M \left(\sqrt{2} J_2 - \sqrt{2} J_2^{(0)} \right) / \sigma_m^{(0)} \right\}$$

$\angle K_0$ がて、現在の問題に対する $C_1 = C_0$ と仮定して、

$$\frac{\partial \epsilon_{12}}{\partial t} = \frac{1}{2g} \frac{\partial \sigma_{12}}{\partial t} + \beta^{(1)} S_{12} / \sqrt{2} J_2 \quad (11)$$

$$\frac{\partial \epsilon_{KK}}{\partial t} = \frac{K}{(1+ex_m)} \frac{\partial \sigma_m}{\partial t} + \beta^{(2)} \left\{ (M \pm \sqrt{2} J_2^{(0)} / \sigma_m^{(0)} + M^* \ln \sigma_m^{(0)} / \sigma_m^{(0)}) \right\} \quad (12)$$

解析にあたりては、非排水条件を考えて $\dot{\epsilon}_{xx} = 0$ とした。

(4), (5)' と (11) よりなる偏微分方程式系は $dx = 0$ と $d\dot{x}/dt = \pm C$ ($C = \sqrt{2gP}$) の 2 つの特性曲線を持つ、したがって、次の微分関係が成立している。この微分関係を積ることにより解を求める。

$$dx = 0 \quad K \neq 0, \quad d\epsilon_{12} = \frac{1}{2g} d\sigma_{12} + \beta^{(1)} S_{12} / \sqrt{2} J_2 \quad (13)$$

$$d\dot{x}/dt = \pm C \quad K \neq 0, \quad d\sigma_{12} = FPC d\dot{x} - 2g \beta^{(2)} S_{12} / \sqrt{2} J_2 \quad (14)$$

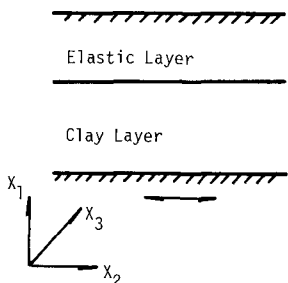


Fig. 1

3. 解析モデルと数値計算結果

解析モデルは表-1のような上部に弾性層がある場合を考慮した。

また、 m については定速せん断試験より求めたひずみの関数として次式を使つた。
 $m = 49 \quad (\varepsilon_1 < 10^{-3})$

$$m = 49 - (18\varepsilon_1 - 1) \times 10^3 \quad (10^{-3} < \varepsilon_1 < 10^{-2})$$

$$m = 40 \quad (\varepsilon_1 > 10^{-2})$$

他のパラメータは $K_0 = 0.5$, $M = 1.400$, $\lambda = 0.127$, $K = 0.02$ であり表面における速度波形は $V = A_0 \sin(2\pi f t)$; 速度, $A_0 = 0.15 \text{ m/sec}$, $f = 1/\text{sec}$

である。図-2は深さ33.1mにおける応力-ひずみ曲線である。ヒステリシスループをえがいており、粘塑性ひずみが生じている様子がわかる。

図-3は深さ50.4mにおける速度波形である。これより、粘土層を考えた方が速度の絶対値は大きくなつていい。

また、時間がたつにつれて小さくなつていい。

図-4は応力波形であるが、同様にすべて弾性層と考えた場合との差は時間がたつにつれ小さくなつていい。

図-4で時間軸の部分に斜め線を引いて区間では、粘土が粘塑性状態に入つていいこと示す

し、他の区間では弾性域に入つていい。これより粘

塑性状態へ入る応力の幅や範囲は時間がたつにつ

れて大きくなつていいことがわかる。これは粘土が硬化し

ていいことのあらわれであると考えられる。図-5

は応力経路図である。△が減少し、残留間隔

を水圧が増加している様子がわかる。

4.あとがき ここでは間げき水の消散は考

えてないが、このまゝは今後検討すべきであろう。

5.謝辞 本研究について終始御指導くだ

さついた京都大学教授赤井浩一先生に感謝い

たします。

6.参考文献 1)赤井,岡,北 "Shock-tubeによる

土中の波動伝播に関する研究" 土工質力学研究会

収集講演集, 1977, No.121, pp.473~476.

Layer	H	G	ρ	C_0
1	3.0	440	196	0
2	3.1	480	200	0
3	3.2	520	204	0
4	3.28	560	208	10^{-6}
5	3.36	600	212	10^{-5}
6	36.12	640	216	10^{-4}

H ; depth (m)

Table 1

G ; Shear modulus (kg/cm^2)

ρ ; density ($\text{kg sec}^2/\text{m}^4$)

C_0 ; parameter in Eq.(10), $C_0 = C_1$ (1/sec)

Fig.2
Depth = 33.1 m

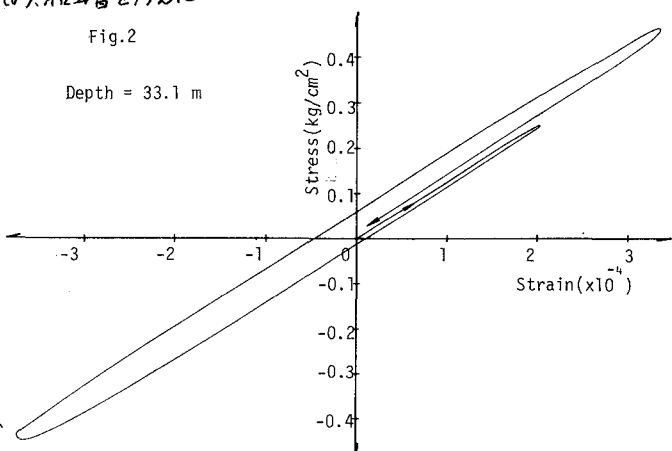


Fig.3
Depth = 50.4 m
--- Elastic

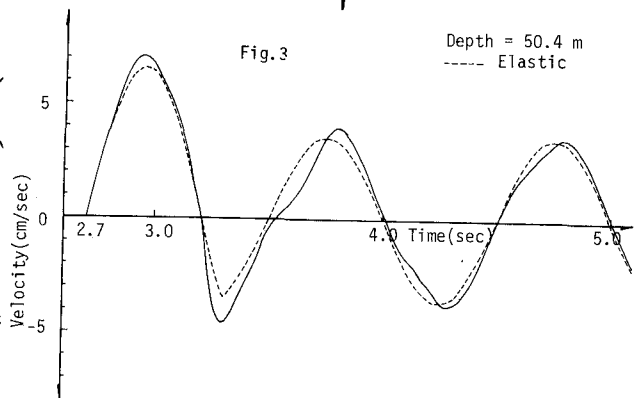


Fig.4
Depth = 50.4 m
--- Elastic

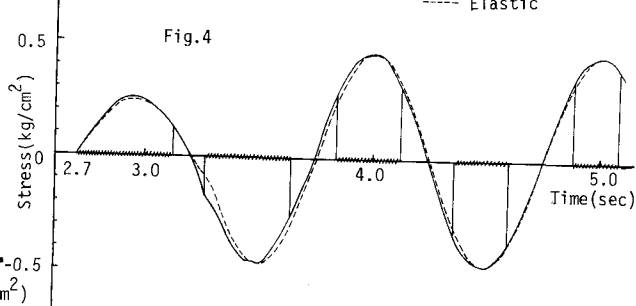


Fig.5
Depth = 33.1 m

